

### III-6 粒状体の構造変化と応力・変形特性

京都大学大学院 学生員 竹田一夫

粒状体の応力・変形特性を粒子構造全体の変化としてとらえるために、粒子の中心を結んで描かれる多角形構造に着目し、粒子接点の発生・消滅にともなう多角形の消滅・発生の挙動を評価するとともに、すべての粒子構造を3角形と4角形としてモデル化することにより、せん断時の応力・ひずみ関係式を誘導した。

#### 1. 粒子構造と応力比 $\sigma_1/\sigma_3$ の関係

アルミ棒混合体の二軸圧縮せん断試験の結果、多角形粒子構造の長軸（最も長い対角線）を  $l_1$ 、  $l_1$  と最大主応力方向とのなす角を  $\alpha$  とすると、多角形の長軸  $l_1$  はせん断の進行とともに最大主応力方向へ顕著な集中傾向を示し、最大主応力方向  $\sigma_3 \rightarrow$ <sup>1)</sup> 向に細長い多角形が増加することが明らかになっている。いまこの  $l_1$  の集中傾向を確率密度分布  $n(\alpha)$  として図-2 のようにモデル化すると、

$$n(\alpha) = \frac{1}{\pi} \left\{ \frac{4}{\pi} (1-\alpha) \alpha + a \right\} \quad (0 \leq \alpha \leq \frac{\pi}{2}) \quad \cdots (1)$$

ここに、 $a = n(0)/\frac{1}{\pi}$  であり、分布の集中の程度を表わす ( $a=1$  で等分布)。

次に、多角形を図-1 に示すような4角形と3角形とで代表させる。図中  $\delta$  は長軸  $l_1$  方向  $\alpha$  と粒子接点角  $\beta$  の差を表わし、 $\delta = \tan^{-1}(l_2/l_1)$  である。4角形と3角形の存在個数をそれぞれ  $m_4, m_3$  とすると、長軸  $l_1$  方向の度数分布  $N_4(\alpha), N_3(\alpha)$  は

$$N_4(\alpha) = \frac{m_4}{\pi} \left\{ \frac{4}{\pi} (1-\alpha) \alpha + a \right\} \quad \cdots (2) \quad N_3(\alpha) = \frac{m_3}{\pi} \quad \cdots (3)$$

と表わされる。ここで3角形は  $l_1$  の方向性がないため等分布と仮定している。

図-1 を参照して  $\beta = \alpha \pm \delta$  の関係から、全体の粒子接点角分布  $N(\beta)$  は

$$N(\beta) = \frac{1}{2} \left\{ 2N_4(\alpha+\delta) + 2N_4(\alpha-\delta) + \frac{3m_3}{\pi} \right\} = m_4 \left\{ N_4(\alpha+\delta) + N_4(\alpha-\delta) \right\} + \frac{3m_3}{2\pi} \quad \cdots (4)$$

と表わされ、主応力比  $\sigma_1/\sigma_3$  は次式となる。<sup>2)</sup>

$$\begin{aligned} \frac{\sigma_1}{\sigma_3} &= \frac{\int_{\alpha}^{\alpha+2\delta} N(\beta) \cos \beta \cos(\beta - \phi_p) d\beta}{\int_{\alpha}^{\alpha+2\delta} N(\beta) \sin \beta \sin(\beta - \phi_p) d\beta} \\ &= \frac{\cos \phi_p \left\{ (1 + \frac{3}{4} \frac{m_3}{m_4}) \pi + \frac{4}{\pi} (\alpha-1) \cos 2\delta \right\} + \sin \phi_p \left\{ (2 + \frac{3}{2} \frac{m_3}{m_4}) + \frac{4}{\pi} (\alpha-1) \cdot 3\delta \cdot \cos 2\delta \right\}}{\cos \phi_p \left\{ (1 + \frac{3}{4} \frac{m_3}{m_4}) \pi - \frac{4}{\pi} (\alpha-1) \cos 2\delta \right\} - \sin \phi_p \left\{ (2 + \frac{3}{2} \frac{m_3}{m_4}) \right\}} \end{aligned} \quad (5)$$

ここに、 $\phi_p$  は粒子間摩擦角、 $\delta$  は  $\delta$  の平均値である。

#### 2. 粒子構造の変化と主ひずみ増分 $d\varepsilon_1, d\varepsilon_3$ の関係

アルミ棒混合体 ( $\phi 5, 8mm$ ) の二軸圧縮せん断試験より、主ひずみ  $\varepsilon_1 = 0$  図-3. 4角形の消滅・発生のメカニズム

~1.7% の間に粒子接点の発生により消滅(disappear)する多角形の度数分布  $N_d(\alpha)$ 、粒子接点の消滅により発生(generate)する多角形の度数分布  $N_g(\alpha)$  を図-4, 5 に示している。そしてこれらの多角形の消滅・発生の機構は図-3 のように単純化して表わせるようである。いま定常4角形 (4角形を保ったまま変形する4角形) の角度  $\delta$  の変化量の平均値を  $\Delta\delta$  とし、図-4 の傾向を考慮して長軸  $l_1$  方向角  $\alpha$  が大きいほど、消滅せずに残っている定常4角形の個数が多いほど消滅4角形数が多く、3角形の個数が多いほど消滅3角形数が多く、また両者とも角度変化  $\Delta\delta$  が大きいほど多いと仮定すると、消滅する4角形

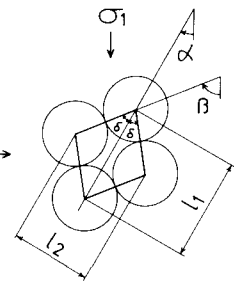


図-1 4角形構造  $n(\alpha)$

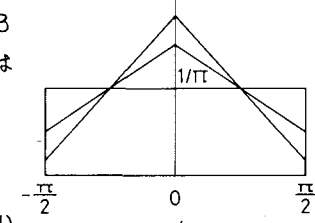
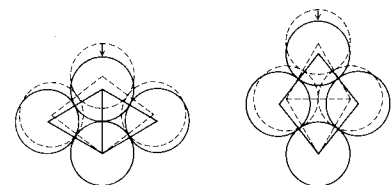


図-2  $n(\alpha)$  のモデル化



消滅 発生

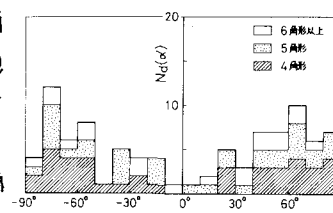


図-4 消滅する多角形の度数分布  $N_d(\alpha)$

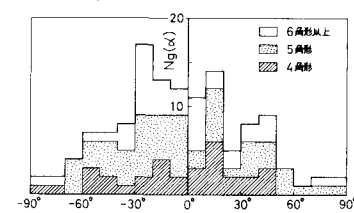


図-5 発生する多角形の度数分布  $N_g(\alpha)$

形 (4角形を保ったまま変形する4角形) の角度  $\delta$  の変化量の平均値を  $\Delta\delta$  とし、図-4 の傾向を考慮して長軸  $l_1$  方向角  $\alpha$  が大きいほど、消滅せずに残っている定常4角形の個数が多いほど消滅4角形数が多く、3角形の個数が多いほど消滅3角形数が多く、また両者とも角度変化  $\Delta\delta$  が大きいほど多いと仮定すると、消滅する4角形

3角形の度数分布  $N_{4d}(\alpha)$ ,  $N_{3d}(\alpha)$  は次式で与えられる。

$$N_{4d}(\alpha) = \frac{2C_1 M_4 (2-\alpha)}{\pi^2} \cdot \alpha \cdot \Delta\delta \quad (0 \leq \alpha \leq \frac{\pi}{2}) \quad \cdots \cdots (6)$$

$$N_{3d}(\alpha) = \frac{C_2 \cdot m_3}{\pi} \cdot \Delta\delta \quad (\alpha \text{によらず等分布}) \quad \cdots \cdots (7)$$

また、これらに対応して発生する3角形・4角形の度数分布  $N_{3g}(\alpha)$ ,  $N_{4g}(\alpha)$

は図-5の傾向を考慮して次のように表わされる。

$$N_{3g}(\alpha) = \frac{C_1 \cdot M_4 (2-\alpha)}{\pi} \cdot \Delta\delta \quad (\alpha \text{によらず等分布}) \quad \cdots \cdots (8)$$

$$N_{4g}(\alpha) = \frac{C_2 \cdot m_3}{\pi} \cdot (1 - \frac{2}{\pi}\alpha) \cdot \Delta\delta \quad (0 \leq \alpha \leq \frac{\pi}{2}) \quad \cdots \cdots (9)$$

ここに  $C_1, C_2$  は、定常4角形の角度変化量  $\Delta\delta = 1 \text{ radian}$  当りの  $N_4(\frac{\pi}{2})$ ,

$N_3(\alpha)$  に対する  $N_{4d}(\frac{\pi}{2})$ ,  $N_{3d}(\alpha)$  の割合を意味する。これら多角形の消滅

発生にともなう  $N(\alpha)$  の変化を模式的に図-6に示している。同図を参照して

分布の集中度の変化量  $\Delta\alpha$  と定常角度変化量  $\Delta\delta$  の間に次の関係が成り立つ。

$$\Delta\delta = \Delta\alpha / \left\{ \frac{1}{2}(2-\alpha-\Delta\alpha) \cdot C_2 \cdot \frac{m_3}{M_4} + \frac{1}{2}(2-\alpha)(\alpha+\Delta\alpha) \cdot C_1 \right\} \quad \cdots \cdots (10)$$

さて、各4角形の最小主応力面への投影長とその変化量をそれぞれ  $\chi_1, \Delta\chi_1$ , 最大主応力面への投影長とその変化量を  $\chi_3, \Delta\chi_3$  とすると、主ひずみ増分は

$$d\epsilon_1 = \frac{\sum \Delta\chi_1}{\sum \chi_1} = \frac{(\sum \Delta\chi_1)_{\text{定常}} + (\sum \Delta\chi_1)_{\text{消滅}} + (\sum \Delta\chi_1)_{\text{発生}}}{\sum \chi_1} \quad \cdots \cdots (11)$$

$$d\epsilon_3 = \frac{\sum \Delta\chi_3}{\sum \chi_3} = \frac{(\sum \Delta\chi_3)_{\text{定常}} + (\sum \Delta\chi_3)_{\text{消滅}} + (\sum \Delta\chi_3)_{\text{発生}}}{\sum \chi_3} \quad \cdots \cdots (12)$$

$$(\sum \Delta\chi_1)_{\text{定常}} = \int_{\frac{\pi}{2}-\delta}^{\frac{\pi}{2}} r(\alpha) [N_4(\alpha) - N_{4d}(\alpha)] \cdot \Delta l_1 \cos\alpha \cdot d\alpha + \int_{\frac{\pi}{2}-\delta}^{\frac{\pi}{2}} r(\alpha) [N_4(\alpha) - N_{4d}(\alpha)] \cdot \Delta l_2 \sin\alpha \cdot d\alpha \quad \cdots \cdots (13)$$

$$(\sum \Delta\chi_1)_{\text{消滅}} = \int_{\frac{\pi}{2}-\delta}^{\frac{\pi}{2}} N_{4d}(\alpha) \cdot \Delta l_1 \cos\alpha \cdot d\alpha + \int_{\frac{\pi}{2}-\delta}^{\frac{\pi}{2}} N_{4d}(\alpha) \cdot \Delta l_2 \sin\alpha \cdot d\alpha \quad \cdots \cdots (14)$$

$$(\sum \Delta\chi_1)_{\text{発生}} = \int_{\frac{\pi}{2}-\delta}^{\frac{\pi}{2}} N_{4g}(\alpha) \cdot \Delta l_1 \cos\alpha \cdot d\alpha + \int_{\frac{\pi}{2}-\delta}^{\frac{\pi}{2}} N_{4g}(\alpha) \cdot \Delta l_2 \sin\alpha \cdot d\alpha \quad \cdots \cdots (15)$$

$$(\sum \Delta\chi_3)_{\text{定常}} = \int_{\delta}^{\frac{\pi}{2}} r(\alpha) [N_4(\alpha) - N_{4d}(\alpha)] \cdot \Delta l_2 \cos\alpha \cdot d\alpha + \int_{\delta}^{\frac{\pi}{2}} r(\alpha) [N_4(\alpha) - N_{4d}(\alpha)] \cdot \Delta l_1 \sin\alpha \cdot d\alpha \quad \cdots \cdots (16)$$

$$(\sum \Delta\chi_3)_{\text{消滅}} = \int_{\delta}^{\frac{\pi}{2}} N_{4d}(\alpha) \cdot \Delta l_2 \cos\alpha \cdot d\alpha + \int_{\delta}^{\frac{\pi}{2}} N_{4d}(\alpha) \cdot \Delta l_1 \sin\alpha \cdot d\alpha \quad \cdots \cdots (17)$$

$$(\sum \Delta\chi_3)_{\text{発生}} = \int_{\delta}^{\frac{\pi}{2}} N_{4g}(\alpha) \cdot \Delta l_2 \cos\alpha \cdot d\alpha + \int_{\delta}^{\frac{\pi}{2}} N_{4g}(\alpha) \cdot \Delta l_1 \sin\alpha \cdot d\alpha \quad \cdots \cdots (18)$$

$$\sum \Delta\chi_1 = (\sum \Delta\chi_1)_{\text{3角形}} + (\sum \Delta\chi_1)_{\text{4角形}} = \left( \int_{\frac{\pi}{2}-\delta}^{\frac{\pi}{2}} \frac{m_3}{2\pi} \sqrt{3} d \cos\alpha \cdot d\alpha + \int_{\frac{\pi}{2}-\delta}^{\frac{\pi}{2}} \frac{m_3}{2\pi} d \sin\alpha \cdot d\alpha \right) + \left( \int_{\delta}^{\frac{\pi}{2}} N_{4d}(\alpha) \cdot l_1 \cos\alpha \cdot d\alpha + \int_{\delta}^{\frac{\pi}{2}} N_{4d}(\alpha) \cdot l_2 \sin\alpha \cdot d\alpha \right) \quad \cdots \cdots (19)$$

$$\sum \Delta\chi_3 = (\sum \Delta\chi_3)_{\text{3角形}} + (\sum \Delta\chi_3)_{\text{4角形}} = \left( \int_{\delta}^{\frac{\pi}{2}} \frac{m_3}{2\pi} d \cos\alpha \cdot d\alpha + \int_{\delta}^{\frac{\pi}{2}} \frac{m_3}{2\pi} \sqrt{3} d \sin\alpha \cdot d\alpha \right) + \left( \int_{\delta}^{\frac{\pi}{2}} N_{4d}(\alpha) \cdot l_2 \cos\alpha \cdot d\alpha + \int_{\delta}^{\frac{\pi}{2}} N_{4d}(\alpha) \cdot l_1 \sin\alpha \cdot d\alpha \right) \quad \cdots \cdots (20)$$

ここに、 $r(\alpha) = 1 - \frac{4}{\pi}\alpha$  ( $0 \leq \alpha \leq \frac{\pi}{2}$ ) で4角形が  $l_1$  方向に圧縮する割合を表わす。(13), (16)式中  $\Delta l_1 = 2d \cdot \Delta\delta \sin\delta$ ,  $\Delta l_2 = -2d \cdot \Delta\delta \cos\delta$ , (14), (17)式中  $\Delta l_1 = 2d(\cos\delta - \cos\frac{\pi}{2})$ ,  $\Delta l_2 = 2d(\sin\delta - \sin\frac{\pi}{2})$ , (15), (18)式中  $\Delta l_1 = 2d\{\cos\frac{\pi}{2} - \cos(\frac{\pi}{2} + \frac{\Delta\delta}{2})\}$ ,  $\Delta l_2 = 2d\{\sin\frac{\pi}{2} - \sin(\frac{\pi}{2} + \frac{\Delta\delta}{2})\}$ ,  $d$  は平均粒子中心間距離である。これら (11)~(20) 式より主ひずみ増分が  $\Delta\delta$  を含んだ形で求まり、さらに (10) 式の関係から長軸  $l_1$  の集中度が  $\Delta\alpha$  だけ変化する間に生じる主ひずみ増分  $d\epsilon_1, d\epsilon_3$  が求まる。また  $\Delta\delta$  に対応する構造変化後の3角形数  $M_3 \text{ next}$ , 4角形数  $M_4 \text{ next}$ ,  $\delta$  の平均値  $\bar{\delta} \text{ next}$  はそれぞれ次のように与えられる。 $M_3 \text{ next} = M_3 + \{C_1(2-\alpha)M_4 - C_2 M_3\} \Delta\delta \cdots (21)$ ,  $M_4 \text{ next} = M_4 + \frac{1}{2}\{C_2 M_3 - C_1(2-\alpha)M_4\} \Delta\delta \cdots (22)$ ,  $\bar{\delta} \text{ next} = [\bar{\delta} \cdot \{1 - \frac{C_1}{2}(2-\alpha)\Delta\delta\} - \frac{1}{3}\{1 - \alpha - \frac{C_1}{2}(2-\alpha)\Delta\delta\} \Delta\delta + \frac{C_2}{2}(\frac{\pi}{2} + \frac{\Delta\delta}{2}) \frac{M_3}{M_4} \Delta\delta] / [\{1 + \frac{1}{2}\{C_2 \frac{M_3}{M_4} - C_1(2-\alpha)\}\Delta\delta\}] \cdots (23)$

以上より、初期構造を表わすパラメータ  $a_0, \bar{\delta}_0, m_3/m_4$ , 構造変化を表わすパラメータ  $C_1, C_2$  を与えることにより応力・ひずみ関係が算定される。その計算結果を図-7, 8 に示している。なお  $d\epsilon_v = d\epsilon_1 + d\epsilon_3$  としている。

謝辞 御指導いただいた京都大学防災研究所柴田徹教授、同足立尚助教授に心からの謝意を表します。

参考文献 1)竹田(1980)：第15回土質工学研究発表会講演集。2)竹田(1980)：第35回土木学会年次講演会, III-9.

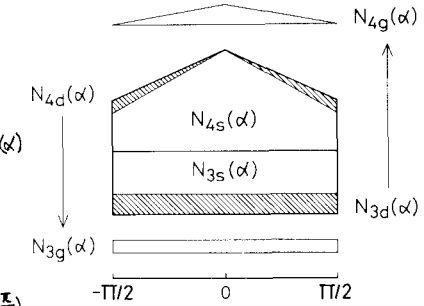


図-6 構造変化のモデル化

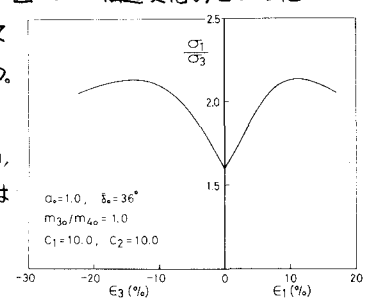


図-7 主応力比～主ひずみ関係( $\phi_p=20^\circ$ )

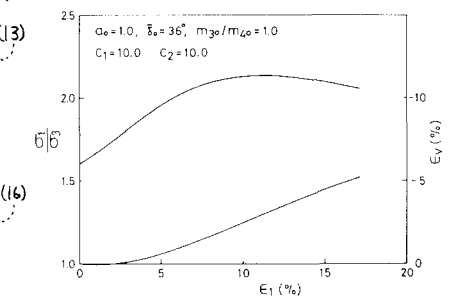


図-8 主応力比～主ひずみ～体積ひずみ関係( $\phi_p=20^\circ$ )